

DOI: <http://dx.doi.org/10.21577/1984-6835.20240006>

**Análise por CLAE/EM, Investigação do Efeito Fitotóxico e da Atividade Larvívica de *Tetrapteryx anisoptera* (Malpighiaceae)**

HPLC/MS Analysis, Investigation of the Phytotoxic Effect and Larvicidal Activity of *Tetrapteryx anisoptera* (Malpighiaceae)

**Gracelene de S. Lima,<sup>a</sup> (<https://orcid.org/0009-0005-5984-3787>) Renata A. Cunha,<sup>b</sup> Anne J. Rangel,<sup>c</sup> Alberto J. O. Lopes<sup>a</sup> (<https://orcid.org/0000-0001-5267-9500>) e Antônio J. Cantanhede Filho<sup>a,\*</sup> (<https://orcid.org/0000-0002-2009-2817>)**

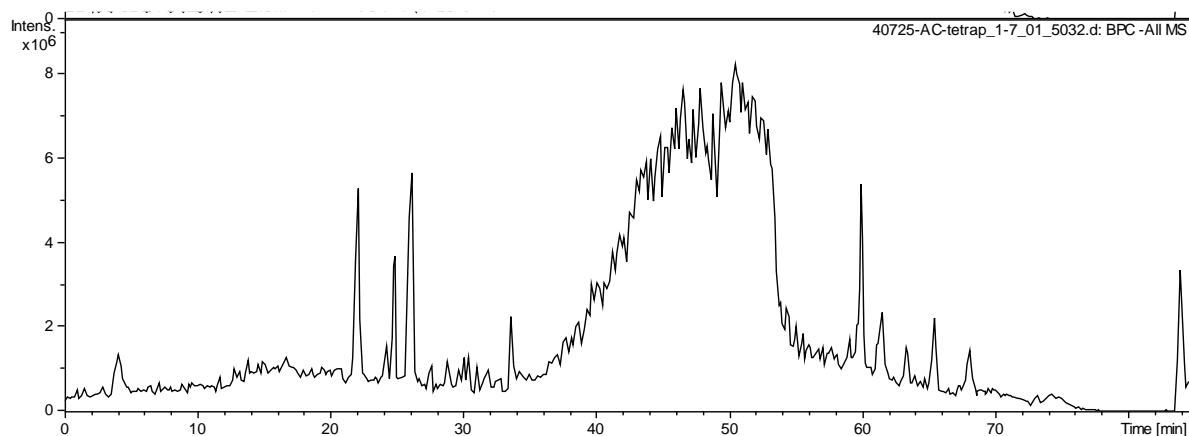
<sup>a</sup> Instituto Federal do Maranhão, Programa de Pós-Graduação em Química–PPGQ, Campus Monte Castelo, CEP 65030-005, São Luís–MA, Brasil

<sup>b</sup> Instituto Federal do Maranhão, Programa de Pós-Graduação em Engenharia Mecânica–PPGMEC, Campus Monte Castelo, CEP 65030-005, São Luís–MA, Brasil

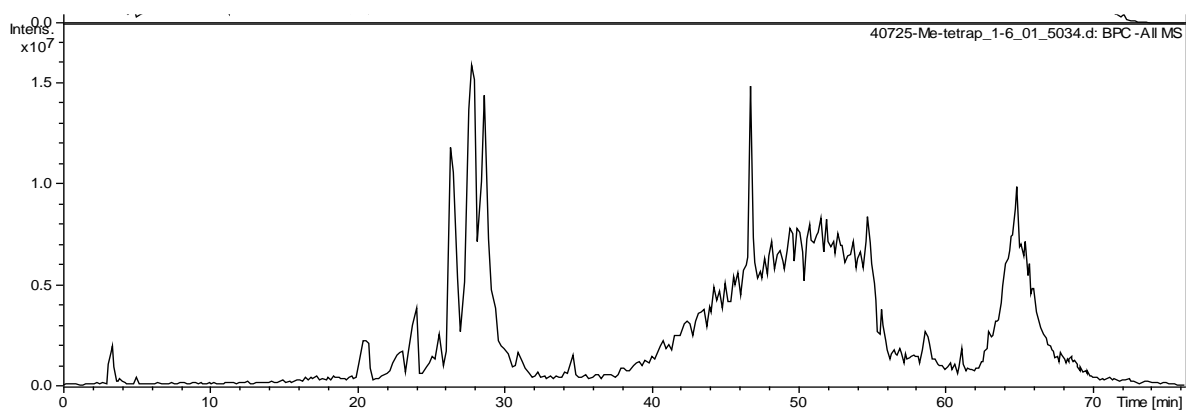
<sup>c</sup> Universidade Regional do Cariri, Programa de Pós-Graduação em Bioprospecção Molecular, CEP 63105-000, Crato–CE, Brasil

\*prof.antoniofilho@ifma.edu.br

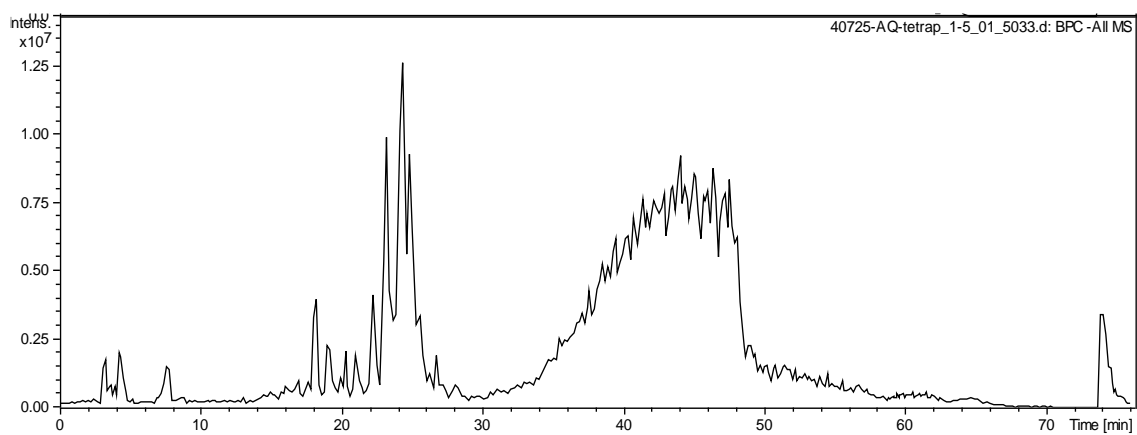
## Material Suplementar



**Figura S1.** Cromatograma do extrato bruto acetato de etila das folhas de *Tetrapterys anisoptera*.



**Figura S2.** Cromatograma do extrato bruto metanólico das folhas de *Tetrapterys anisoptera*.



**Figura S3.** Cromatograma do extrato bruto aquoso das folhas de *Tetrapterys anisoptera*.

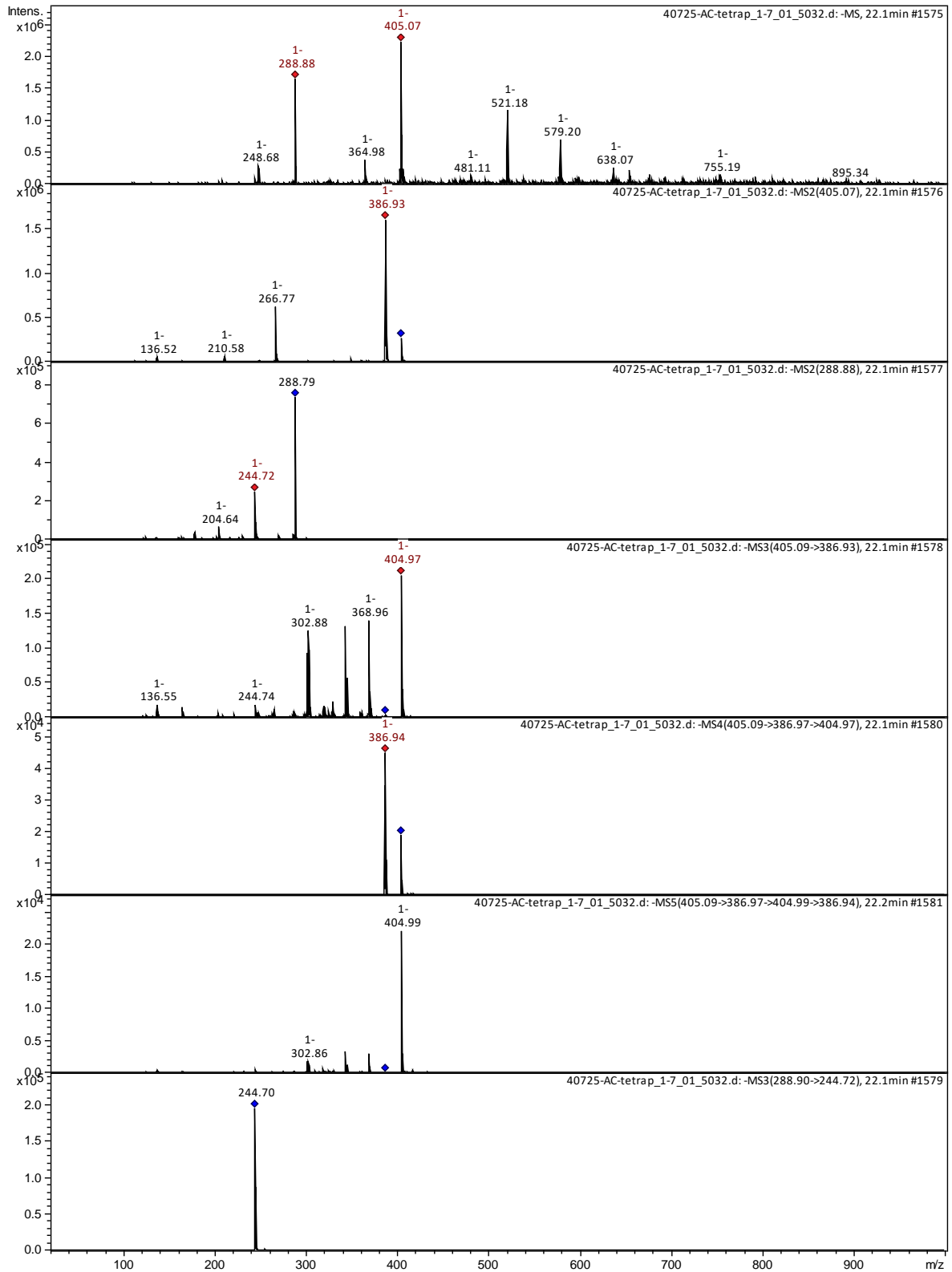


Figura S4. Espectro de massas do composto S-1 (Catequina).

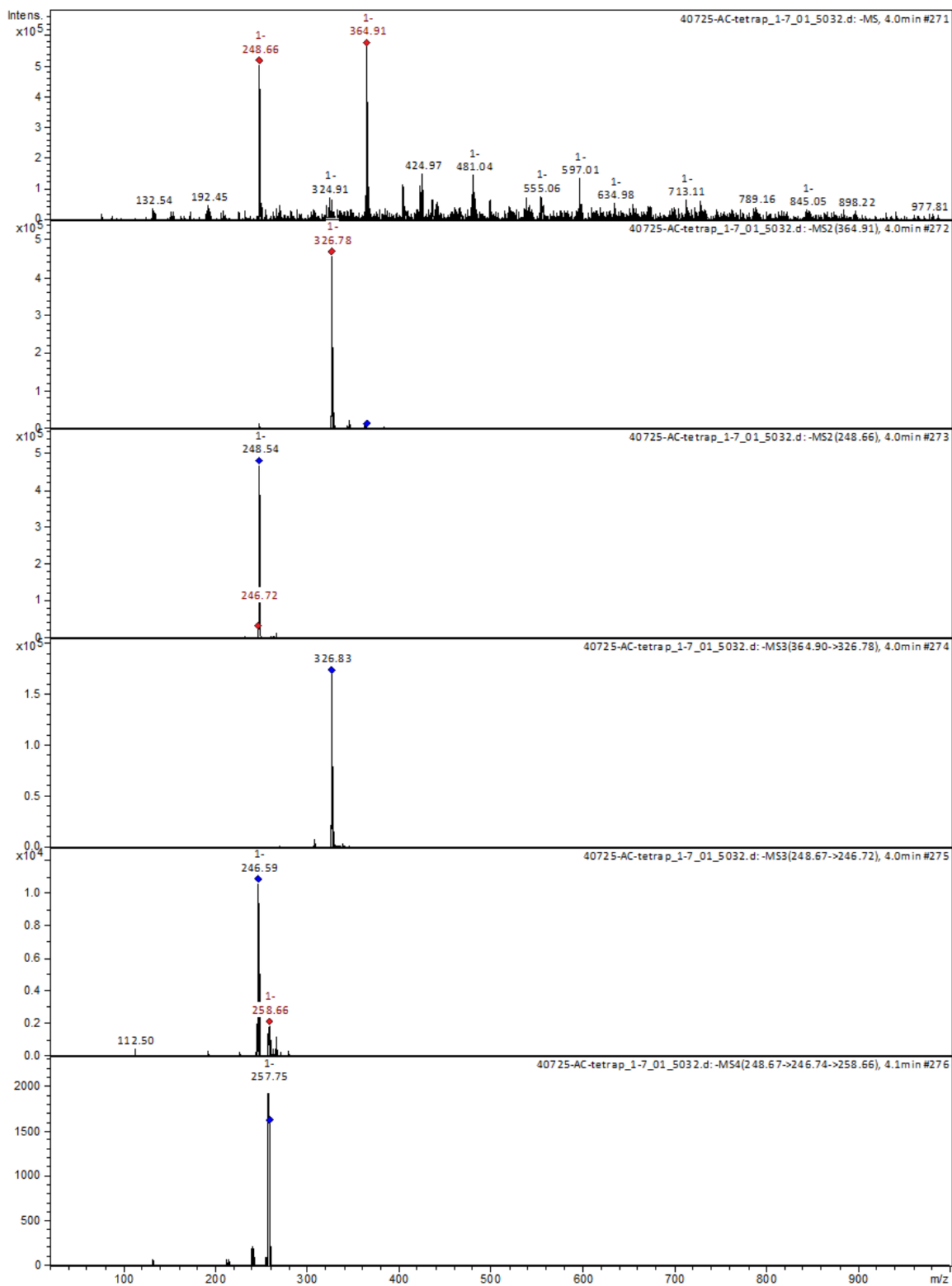


Figura S5. Espectro de massas do composto S-2 (Mucronatina B).

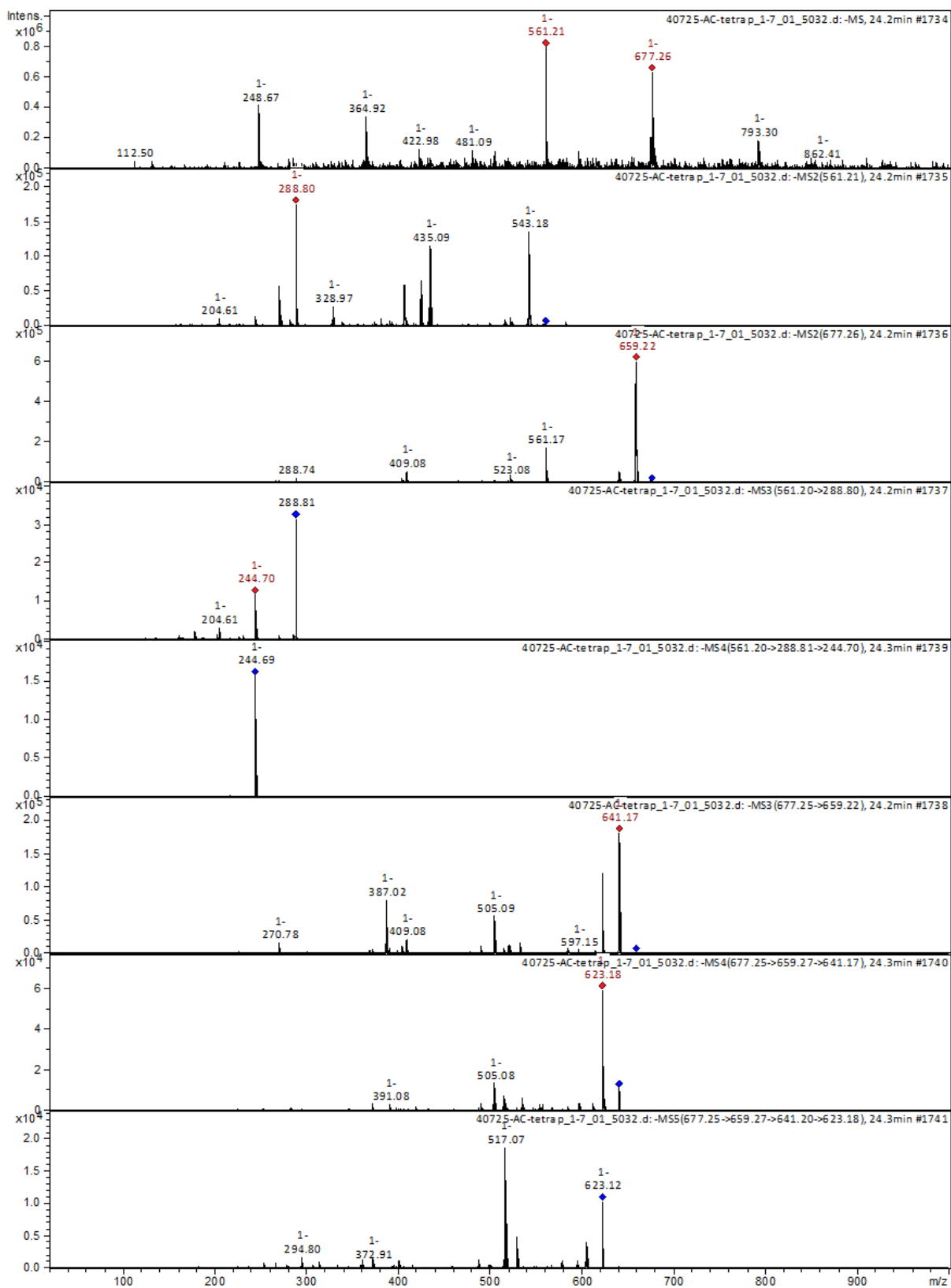


Figura S6. Espectro de massas do composto S-3 (Gambiriii C).

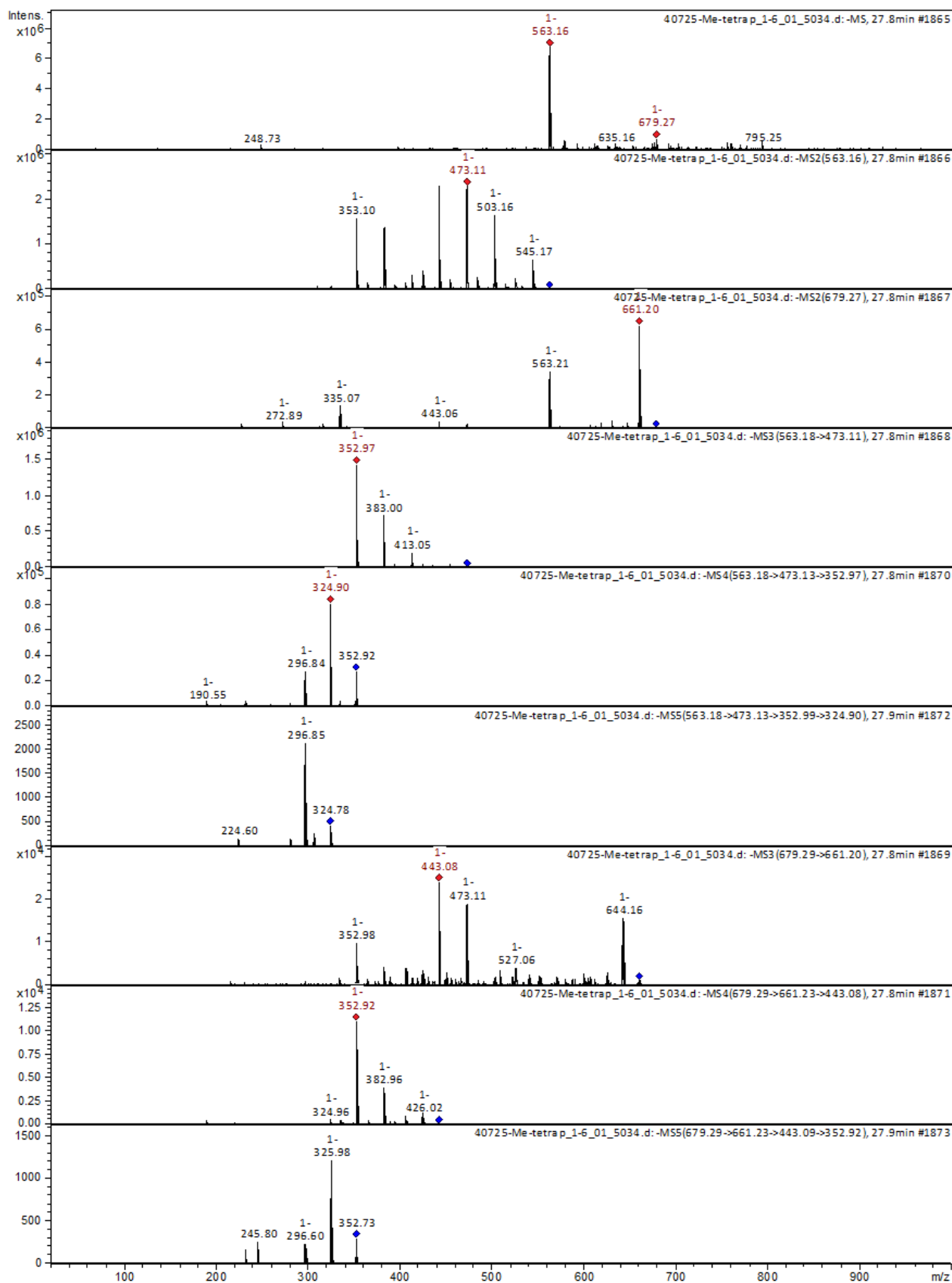
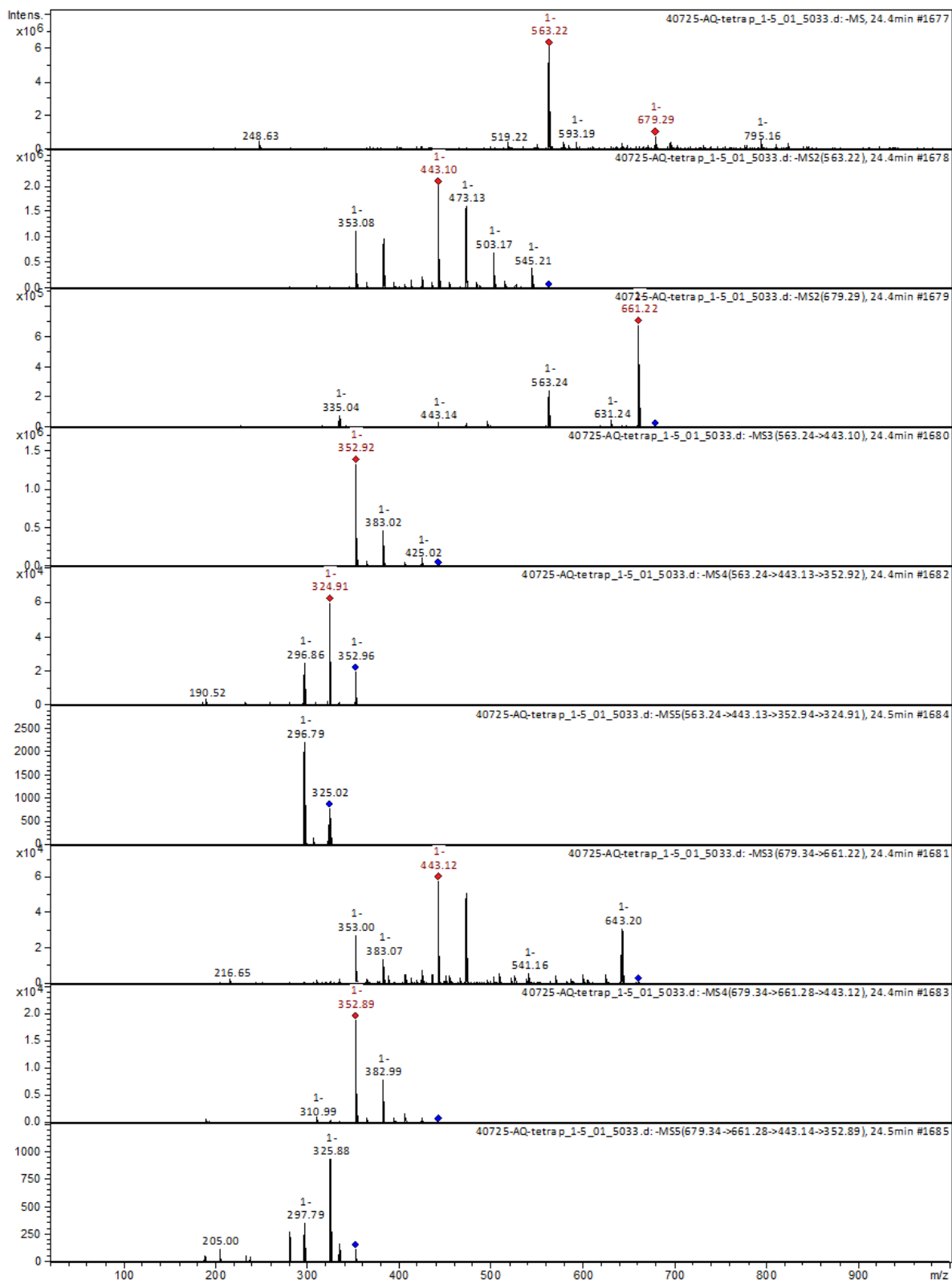


Figura S7. Espectro de massas do composto S-4 (Apigenina glicosilada).



**Figura S8.** Espectro de massas do composto **S-4** (Apigenina glicosilada).

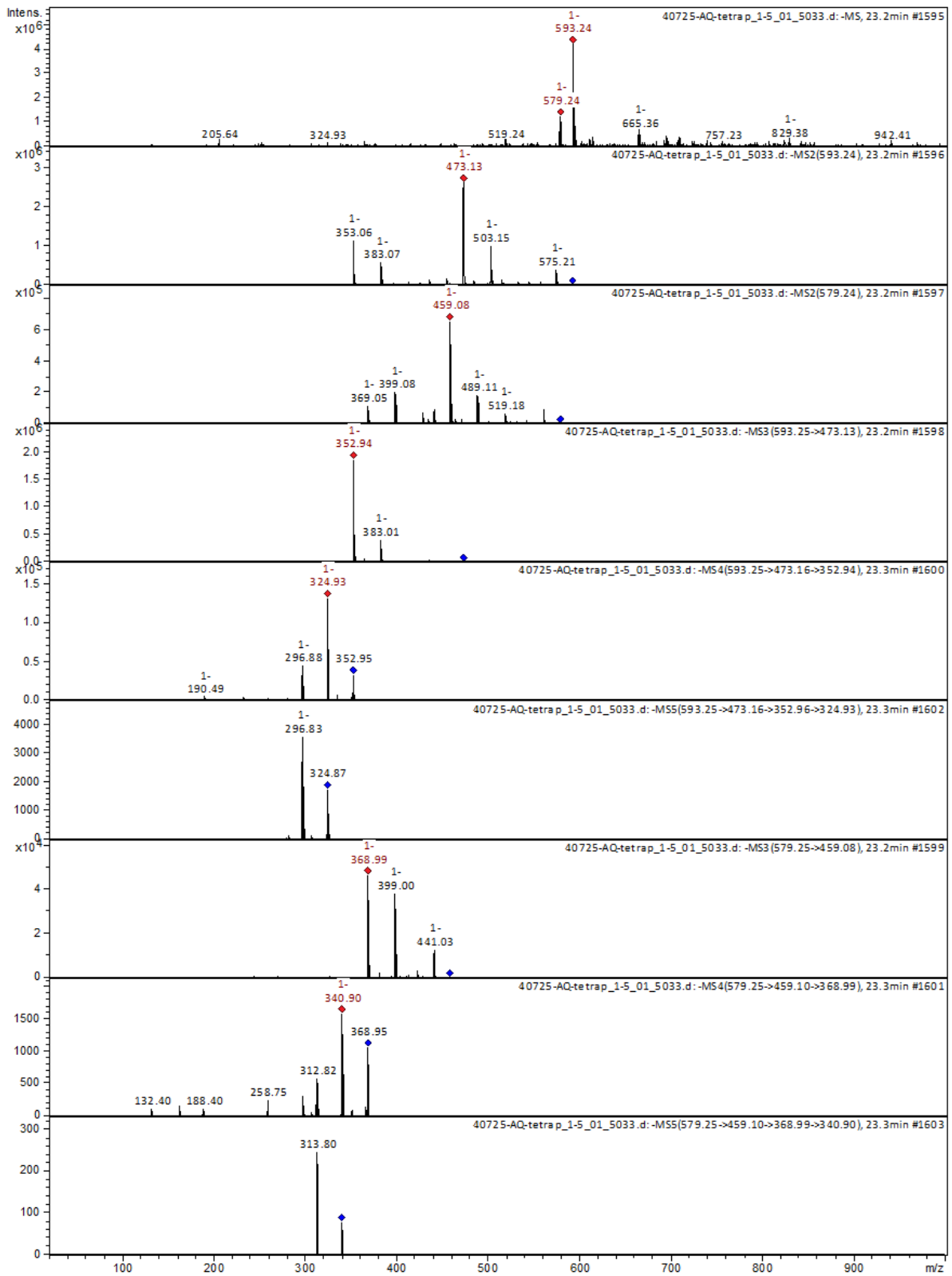
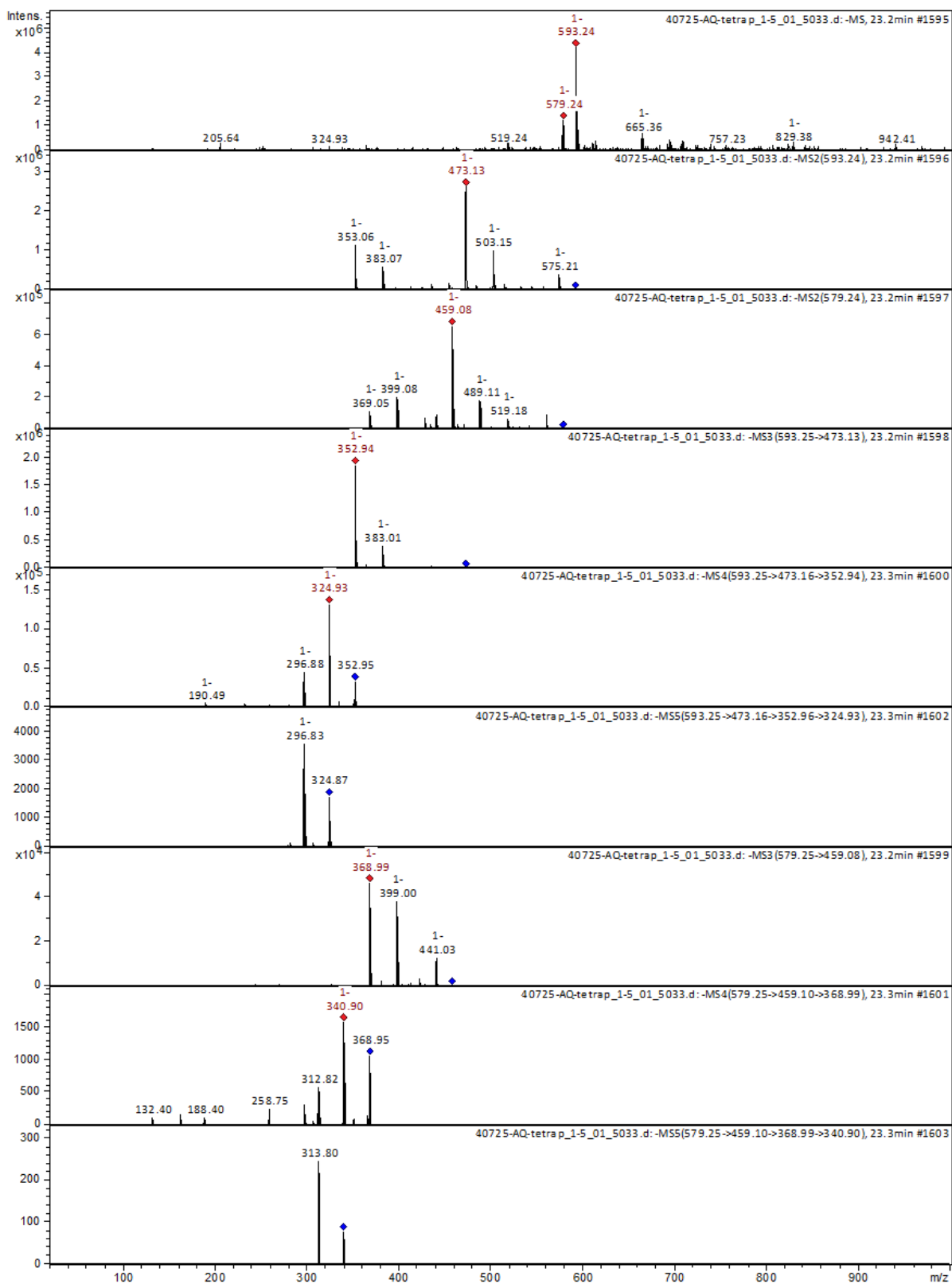


Figura S9. Espectro de massas do composto S-5 (Luteolina).





**Figura S10.** Espectro de massas do composto S-6 (Vicenin II).

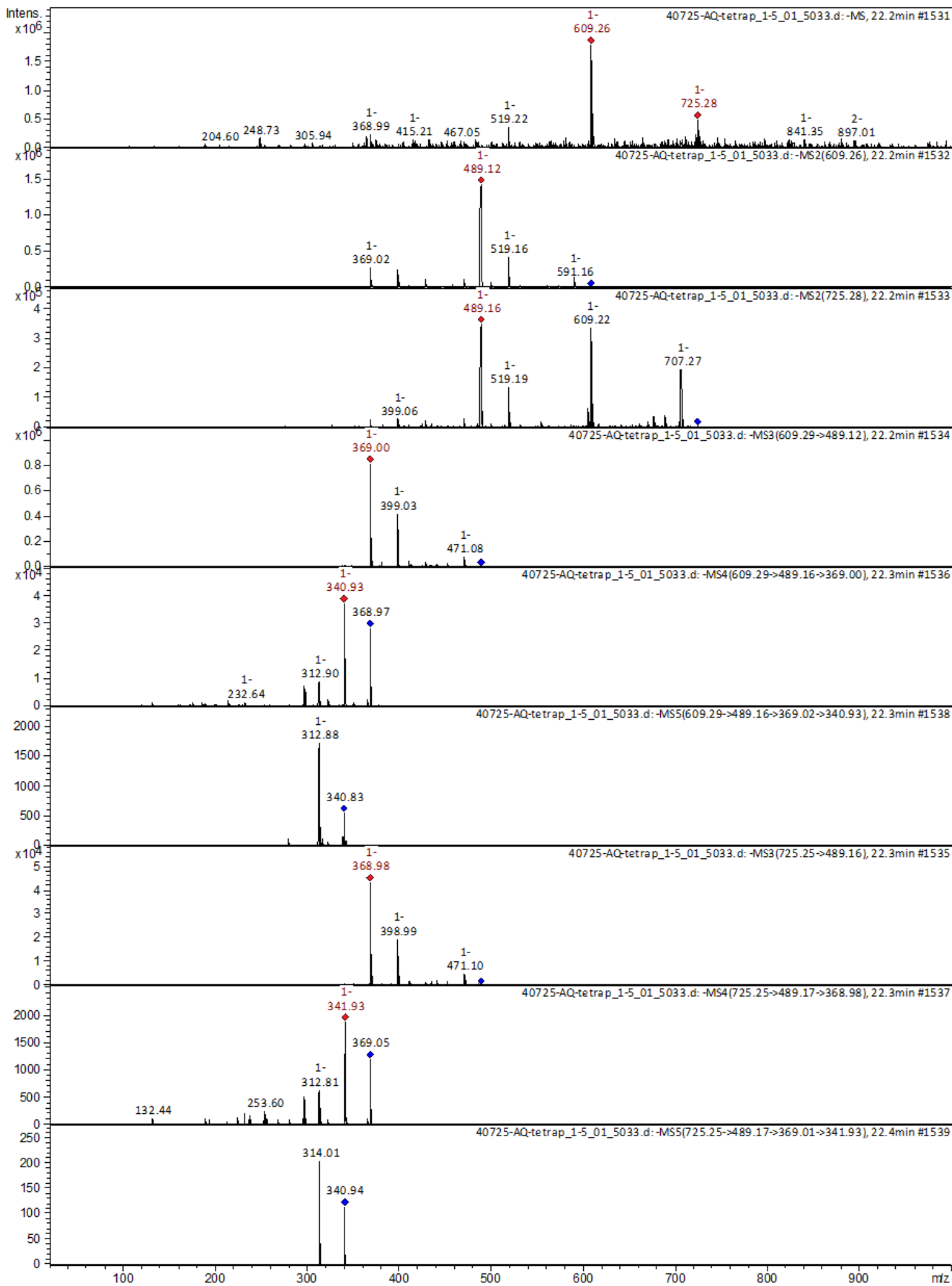


Figura S11. Espectro de massas do composto S-7 (Lucenina II).

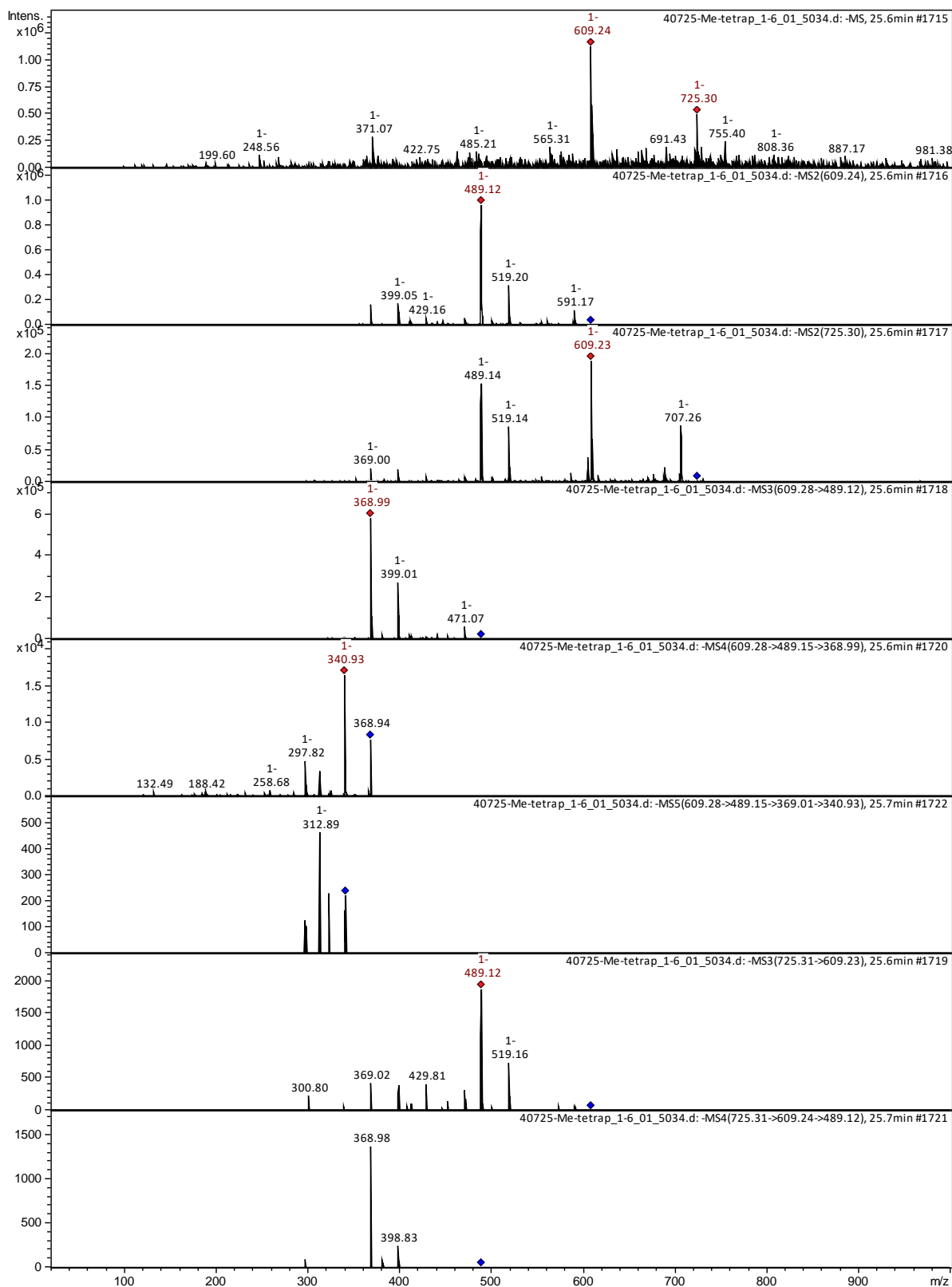


Figura S12. Espectro de massas do composto S-7 (Lucenina II).

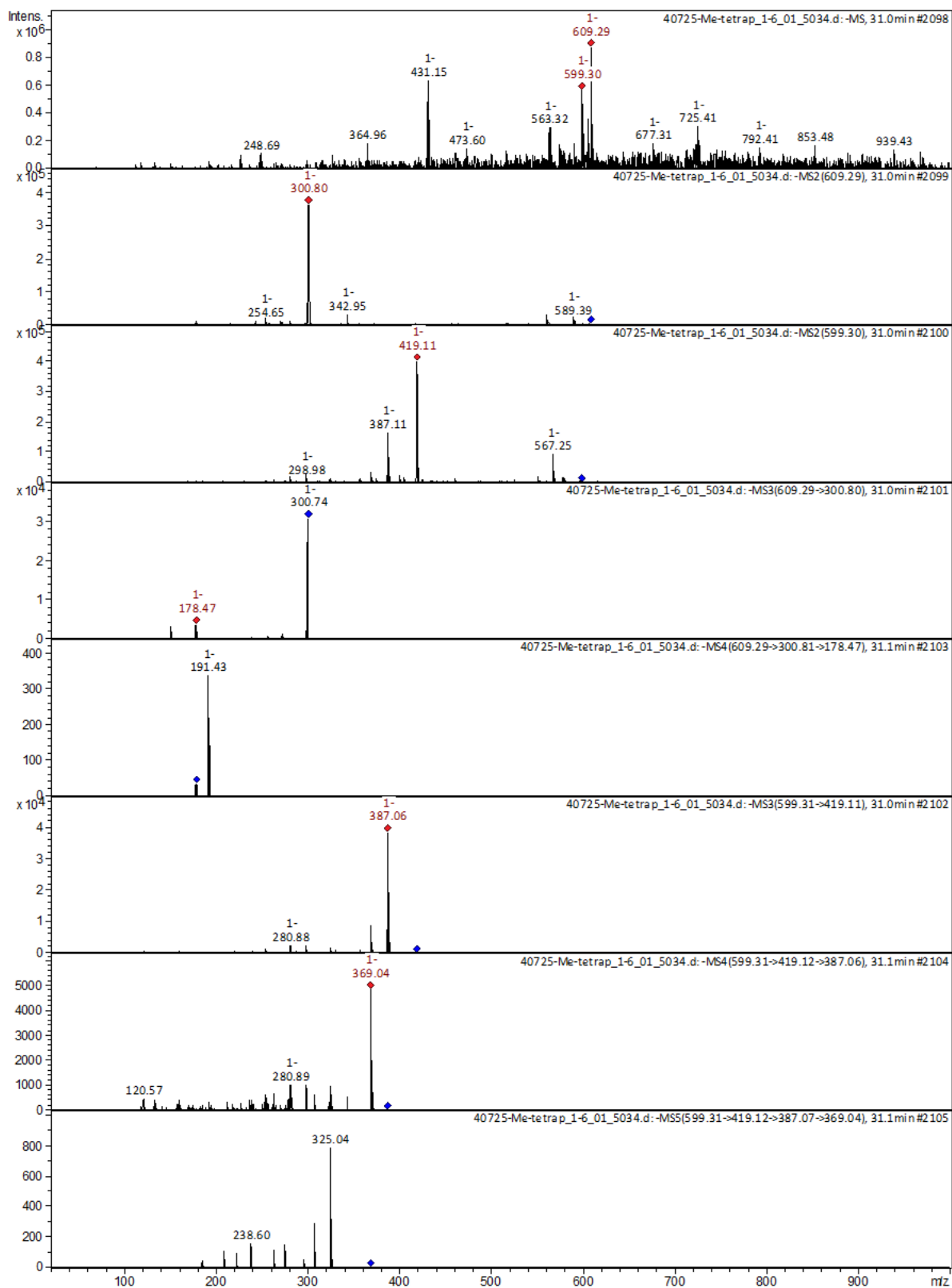


Figura S13. Espectro de massas do composto S-8 (Quercetina-3-O-neohesperidosídeo).

**Tabela S1.** Efeitos dos extratos brutos de *Tetrapteryx anisoptera* sobre a germinação, crescimento da radícula e crescimento do hipocótilo da espécie receptora *Senna obtusifolia*. Dados expressos em relação ao tratamento testemunha (água destilada).

<b>Extratos Brutos de <i>Tetrapteryx anisoptera</i></b>	<b>Percentual de Germinação</b>	<b>Alongamento da Radícula</b>	<b>Alongamento do Hipocótilo</b>
Testemunha	16,00 a	0,500 b	2,600 c
Acetato de etila	13,33 a	0,500 b	2,400 c
Metanólico	11,33 a	0,500 b	2,367 c
Aquoso	10,67 a	0,300 b	2,300 c
DMS (5%)	6,6662	0,1997	0,7434

*a, b, c* Médias seguidas de letras iguais na coluna não diferem pelo Teste de Tukey a 5%.

**Tabela S2.** Análise de Variância para Efeitos de Tratamentos.

<b>Bioensaio</b>	<b>Média</b>	<b>Desvio Padrão</b>	<b>EPM</b>	<b>Coefficiente de Variação</b>	<b>p</b>
<b>Percentual de Germinação</b>	12,833	2,5495	1,4719	19,866	0,1203
<b>Alongamento da Radícula</b>	0,4583	0,0763	0,0440	16,664	0,0666
<b>Alongamento do Hipocótilo</b>	2,4166	0,2843	0,1641	11,765	0,6223